



Article

# Stabilité plasmonique à long terme des nanoparticules de cuivre Produit par la méthode d'agrégation en phase gazeuse suivi de Traitement UV-Ozone

Francesco Zamboni, Arun e Makarevi ci ut e et Vladimir N. Popok \*



Département des matériaux et de la production, Université d'Aalborg, 9220 Aalborg, Danemark ; frza@mp.aau.dk (FZ); arunemakareviciute@gmail.com (AM)

\* Correspondance : vp@mp.aau.dk

Résumé: Les nanoparticules métalliques (NP) de Coinage sont bien connues pour le phénomène de résonance plasmonique de surface localisée (LSPR), qui est largement utilisé pour une détection et une détection améliorées. La stabilité du LSPR dans le temps est une question importante pour l'application pratique des matrices de nanoparticules. Certains métaux, dont le cuivre, sont chimiquement réactifs dans les conditions atmosphériques ambiantes, ce qui entraîne une dégradation de la fonctionnalité plasmonique. Ce travail rend compte de la formation de matrices Cu NP utilisant l'agrégation en phase gazeuse par pulvérisation magnétron, la sélection de la taille et l'atterrissage en douceur sur un substrat. Cette méthode fournit des NP monocristallins d'une grande pureté, améliorant ainsi l'inertie chimique vis-à-vis des gaz ambiants, par exemple l'oxygène. De plus, une approche simple de traitement UV-ozone permet de former une coque d'oxyde protégeant le noyau métallique contre les réactions avec les espèces environnementales et stabilisant les propriétés plasmoniques pendant une période de plus de 150 jours. La méthodologie proposée est prometteuse pour améliorer la compétitivité des nano-matrices de Cu avec celles de Au et Ag en matière de détection et de détection plasmonique.

Mots clés : formation de nanoparticules d'agrégation de gaz ; des nanoparticules de cuivre ; oxydation du cuivre; résonance plasmonique de surface localisée



Citation : Zamboni, F. ;

Makarevi ciut e, A.; Popok, Vietnam
Stabilité plasmonique à long terme des
nanoparticules de cuivre produites par la
méthode d'agrégation en phase
gazeuse suivie d'un traitement UV-ozone.
Appl. Nano2022, 3, 102-111. https:// doi.org/10.3390/applnano3020007

Rédacteur académique : Angelo Maria Taglietti

Reçu: 17 mars 2022

Accepté: 24 avril 2022

Publié: 3 mai 2022

Note de l'éditeur : MDPI reste neutre en ce qui concerne les revendications juridictionnelles dans les cartes publiées et les affiliations institutionnelles iations.



Copyright: © 2022 par les auteurs.
Licencié MDPI, Bâle, Suisse.
Cet article est un article en libre accès distribué selon les termes et conditions des Creative Commons
Licence d'attribution (CC BY) (https://creativecommons.org/licenses/by/4.0/).

#### 1. Introduction

Le phénomène de résonance plasmonique de surface localisée (LSPR) connu pour les nanoparticules métalliques (NP) est largement appliqué en optoélectronique, en photovoltaïque et surtout en détection [1–3]. Les nanostructures d'or et d'argent sont les plus fréquemment utilisées, offrant une forte réponse de résonance dans l'intervalle spectral visible [4,5]. Alors que les structures en or sont très stables chimiquement et ont une bonne capacité de fonctionnalisation de surface, celles en argent présentent certaines limites. Par exemple, ils ne peuvent pas être utilisés pour détecter certains objets biologiques en raison de leur effet bactéricide. De plus, la stabilité temporelle des propriétés plasmoniques est plus courte que celle de l'or en raison de réactions possibles avec des espèces de l'atmosphère ambiante, par exemple le soufre, même en quantités infimes [6,7]. Un autre inconvénient des deux métaux est leur coût relativement élevé.

Comparé à l'or et à l'argent, le cuivre pourrait être un bon candidat pour les plateformes nanométriques car ses nanostructures peuvent fournir des bandes plasmoniques intenses dans le spectre visible et c'est un matériau moins coûteux [8,9]. Cependant, les NP de Cu sont sujets à l'oxydation dans l'atmosphère ambiante , produisant principalement du Cu2O (oxyde de Cu(I)) à température ambiante ; CuO (oxyde de Cu(II)) se forme généralement dans des conditions particulières, par exemple à des températures et à haute pression élevées [10,11]. Des études récentes ont montré qu'une double couche composée des deux oxydes peut se former [12]. Les caractéristiques cristallines se sont révélées être un facteur important affectant le processus d'oxydation ; les particules/films polycristallins ou ceux présentant un niveau élevé de défauts structurels et/ ou d'impuretés sont moins stables face aux réactions chimiques [13,14].

Par conséquent, les méthodes permettant de fabriquer des particules d'une grande pureté et d'une cristallinité parfaite seraient de meilleurs candidats pour des nanostructures aux propriétés fonctionnelles stables. La formation de telles NP pures et parfaites faciliterait également les études de la dynamique de l'oxydation.

L'agrégation en phase gazeuse de nanoparticules/nanoclusters sous vide fait partie de ces approches offrant un certain nombre d'avantages [15-17]. En particulier, les sources cluster permettent un très bon contrôle de la composition car des cibles ultra-pures sont utilisées et les particules sont formées sous vide. Les conditions d'agrégation favorisent la formation de NP monocristallins. Un autre avantage est la possibilité d'ajuster la taille moyenne des NP en ajustant les paramètres d'agrégation. L'ajout de systèmes de filtrage de masse apporte une capacité de sélection masse/taille encore plus précise. En réglant le flux du faisceau de grappes et le temps de dépôt, la couverture/densité de la surface NP peut être facilement contrôlée, facilitant ainsi la formation des matrices nanométriques avec les paramètres requis.

103

La stabilité à long terme des propriétés fonctionnelles (plasmoniques) a été démontrée pour les NP d'argent produites par pulvérisation magnétron à agrégation de gaz [18,19]. Dans ces expériences, la stabilité du LSPR s'est avérée être d'au moins 70 à 80 jours dans des conditions ambiantes pour les NP de diamètre moyen de 13 et 28 nm. Avec une diminution de la taille des particules à env. À 7 nm, l' amortissement du LSPR a été observé sur une échelle de temps plus courte, indiquant que les réactions chimiques avec les espèces atmosphériques conduisent à une dégradation progressive du noyau métallique responsable du comportement plasmonique. Des tendances similaires ont été constatées pour les NP de cuivre agrégés de gaz ; pour les tailles de 18 à 20 nm, la bande LSPR a été conservée pendant au moins 3 mois, tandis que pour les tailles de 10 à 13 nm, la bande a été désactivée après environ 3 mois. 70 jours à l'atmosphère ambiante en raison de l'oxydation du noyau métallique [20]. Une procédure courante pour protéger les surfaces métalliques est le revêtement [21]. L'une des méthodes simples et efficaces est le traitement UV-ozone, qui permet la formation de fines couches d'oxyde de Cu (I) sur des films de Cu [22,23]. Récemment, nous avons testé l'ozonation sur des NP de Cu montrant la formation rapide d'une coque d'oxyde protégeant le noyau métallique contre une oxydation progressive supplémentaire des NP conservés dans des conditions ambiantes [20].

Dans les travaux en cours, nous continuons à étudier la stabilité temporelle plasmonique des NP de Cu de taille sélectionnée produits par pulvérisation magnétron par agrégation en phase gazeuse. Nous nous concentrons sur l' étude de NP relativement grandes (19 et 24 nm de diamètre) et fournissons des données sur l'évolution de la composition chimique et de la résonance plasmonique sur une période allant jusqu'à 5 mois.

#### 2. Matériels et méthodes

La synthèse en phase gazeuse des NP de cuivre a été réalisée à l'aide de l'appareil de pulvérisation magnétron , MaSCA. Dans une source commerciale de nanoclusters (NC200U d'Oxford Applied Research), des atomes de cuivre ont été pulvérisés à partir d'une cible pure (99,99 %) par un plasma d'argon, agrégés en amas à l'aide d'hélium gazeux, puis collimatés en un faisceau. Le faisceau est entré dans un sélecteur de masse quadripolaire électrostatique (EQMS) permettant la sélection de la taille des NP par déviation en fonction du rapport masse/charge (m/q) dans un champ électrostatique. Faire varier la différence de potentiel électrostatique entre les électrodes EQMS a permis d'ajuster la masse/taille des NP, qui ont ensuite été déposées en régime d'atterrissage en douceur sur un substrat (quartz ou silicium, dans ce travail, en fonction de la méthode de caractérisation suivante ). Plus de détails sur MaSCA et EQMS peuvent être trouvés ailleurs [24,25].

Dans les expériences actuelles, les particules ont été filtrées avec deux tensions différentes (700 et 1 300 V). Après le dépôt, les tailles de NP ont été étudiées par microscopie à force atomique (AFM). Ces mesures ont été effectuées en mode tapotement en utilisant le Nanolaboratoire Ntegra-Aura (de NT-MDT). Des cantilevers commerciaux en Si avec un rayon de courbure de pointe ≤ 10 nm ont été utilisés.

Deux séries d'échantillons pour chaque tension de filtrage (taille NP particulière) ont été réalisées. Pour la taille NP particulière, un ensemble était toujours conservé dans une atmosphère ambiante à température ambiante. Les échantillons du deuxième ensemble ont été traités dans un nettoyant de laboratoire UV-ozone (de Bioforce Nanosciences, Ames, IA, USA) directement après les avoir retirés de la chambre de dépôt. Le traitement a été effectué selon une procédure standard (placement de l'échantillon à l'intérieur du nettoyeur) pendant 20 min. L'absorption de la lumière UV aux longueurs d'onde de 184,9 nm par les molécules d'oxygène est connue pour favoriser la formation d'ozone, tandis que la lumière à 253,7 nm conduit à la décomposition de l'ozone, produisant de l'oxygène atomique. L'ozone et l'oxygène atomique sont tous conduit à la décomposition de l'ozone, produisant de l'oxygène atomique. L'ozone et l'oxygène atomique sont tous conduit à la decomposition de l'ozone, produisant de l'oxygène atomique. L'ozone et l'oxygène atomique sont tous conduit à la decomposition de l'ozone, produisant de l'oxygène atomique. L'ozone et l'oxygène atomique sont tous conduit à la decomposition de l'ozone, produisant de l'oxygène atomique.

échantillon à l'intérieur du nettoyeur) pendant 20 min. L'absorption de la lumière UV aux longueurs d'onde de 184,9 nm par les molécules d'oxygène est connue pour favoriser la formation d'ozone, tandis que la lumière à 253,7 nm conduit à la décomposition de l'ozone, produisant de l'oxygène atomique. L'ozone et l'oxygène atomique sont de puissants agents d'oxydation. Nos études antérieures ont permis de conclure qu'un tel traitement conduisait à la formation d'une fine couche d'oxyde (principalement d'oxyde de Cu (II)) autour des agents d'oxydation forts métalliques. Attoès le deste antérie des sontantifions den céré lors sur l'és te la traites metre de la ନ୍ଧାରୀ ଓଡ଼ାନ୍ୟର୍ଗ୍ୟ (II)) autour du noyau métallique [20]. Après leatraiteprent o le a és harré l'our alembésées en se puéstrate de la trondiment été par le l'après le transfer de la tr spectroscopie phososienterdisis PECES হ্রথাক্তর প্রবাধনের (psieurias transpara (Jud Ph (মিডিড) 15til) santdimensionnel- un système de 8BISOS ดังเล่าเล่าเล่าลูก ลูกลโทร อยาลโทร อยาลโทร ลูก เล่าเล่าลูก เล่าสามารถ เล่าสามารถ and the enregistres avec un ्यास विषय हास स्थापन स्यापन स्थापन स्यापन स्थापन स् <del>ବ୍ୟକ୍ୟଭାଜୟେତନ୍ୟେନ୍ତର୍ଜାୟାନ୍ତର୍ଜ୍ୟ</del> une sensibilité pour l'identification de petits décalages spectraux de la transmission et faurus and the composite of the composit Cu2p1/2 รูประชายิเทลาย์เกษาย์เกษาย์ โหนตรี ยียนภาษ์ ศิลเรียร์อัล ดิ บริศาโฮส 1050 UV/VIS/NIR (de Perkin Le spectrophotomètre Elmer Patigue uffrub bais reau la restable 1616 by Vila Nurs de l'action de Cu déposés sur du quantz Elmer) a été 

$$RE = (100 \% - Ts) - (100 \% - Tq), (1)$$

dans lintervalle de le pere ure h'orden etco 350 à 800 nm. Ces spectres ont ensuite été convertis

RE = (100 % - Ts) - (100 % - Tq), (1) où Ts est la transmission (en %) du substrat avec des NP déposées et Tq est la transmission du substrat de quartz ரியூ நிறுப்பூத்து த்திந்தாய்யூர்த், les mesures ont été effectuées où Ts est la transmittance (en %) du substrat avec directement de près le dépôt du NE et en évitantilles é étentilleme du Mass Cerrange tence de référence - transmission tion poute teleprotroite in the state of the cupacitácio addigáción a comision núcleo por unitácia de unitácia en participa de la suita de su participa de la viente de contriété résécurés de supplieur la déchaix de la principal de la principal de la considéré supplieur la considéré destruction de la considéré destruction de la considéré destruction de la considéré destruction de la considéré de la considéré de la considéré de la considéré destruction de la considéré destruction de la considéré de la considéré de la considéré de la considéré destruction de la considéré destruction de la considéré de la considéré de la considéré de la considéré destruction destruction de la considéré de la considéré destruction de la considéré destruction de la considéré de la considéré de la considéré de la c ters invers finero ism (Cátá qué pé décres 8 chá quis éché control de la résonance a été mesuré tous les 3 à 4 jours pendant las long sue reschont détés l'éplétésées à n4 étois une l'éco à nt trype de la résonance

la longueur d'onde s'est avérée inférieure à 1 nm.

Résultats et discussion 3.

Résultats et discussion

relative (RE):

3.1. Caractérisation AFM des NP déposées 3.1.

Caractérisation AFM des NP déposées

Comme indiqué précédemment, les NP formées par MaSCA peuvent porter divers (un, deux, trois ou Comme indiqué précédemment, les NP formées par MaSCA peuvent porter divers (un, deux, trois ou Comme indiqué précédemment, les NP formées par MaSCA peuvent porter divers (un, deux, trois ou plus élevées) des charges électroniques [24]. Les NP à charge unique dominent dans le faisceau, mais de petites charges électroniques plus élevées [24]. Les NP à charge unique dominent dans le faisceau, mais en petites fractions Des amas à charges multiples sont également présents. Par conséquent, après filtrage, certains clusters à charges multiples sont également présents. Par conséquent, après filtrage à un certain potentiel potentiel appliqué aux électrodes EQMS, NP de même rapport m/q mais de masses différentes appliqué aux électrodes EQMS, NP de même rapport m/q mais de masses différentes (m/1q, 2m/2q, (m/1q, 2m/2q, 3m/3q, etc.), c'est-à-dire différentes tailles, se retrouvent sur un substrat. Un AFM typique 2m/3q, etc.), c'est-à-dire différentes tailles, se trouve sur un substrat. Une image topographique des NP filtrés est présentée à la figure 1.

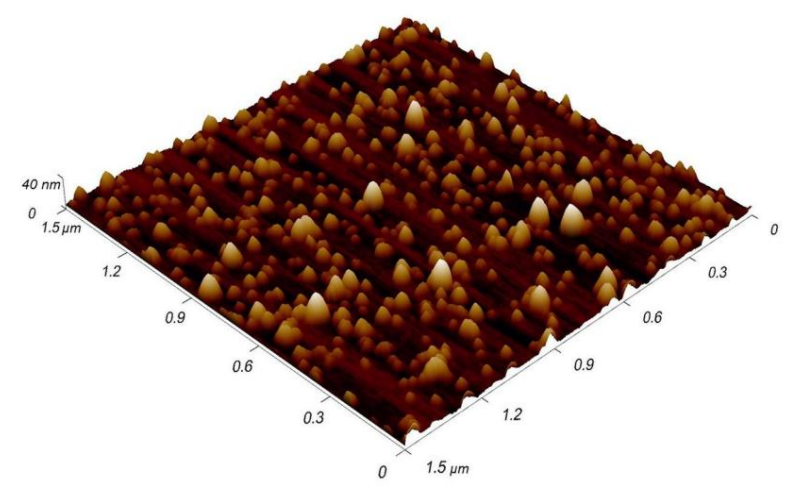


Figure 1. Figure of Arrangel A

Sur la figure 2, on peut voir les distributions de taille pour deux tensions de filtrage différentes utilisées. dans ces expériences. Les tailles les plus abondantes correspondent aux NP monochargées, tandis que Des distributions gaussiennes de NP doublement et triplement chargées sont également présentes. Ils correspondent à √3 2h, √3 3h, où h est la hauteur des NP à charge unique les plus abondantes. Du

Sur la figure 2, on peut voir les distributions de taille pour deux tensions de filtrage différentes utilisées dans ces expériences. Les tailles les plus abondantes correspondent aux NP à charge unique, tandis que des distributions 105 gaussiennes de NP à double et triple charge sont également présentes. Ils correspondent à  $\sqrt{2}$  h,  $\sqrt{3}$ h où h est la hauteur des NP monochargées les plus abondantes. A partir des histogrammes, nous pouvons conclure que pour la tensitière définsione (paintrage (paintr

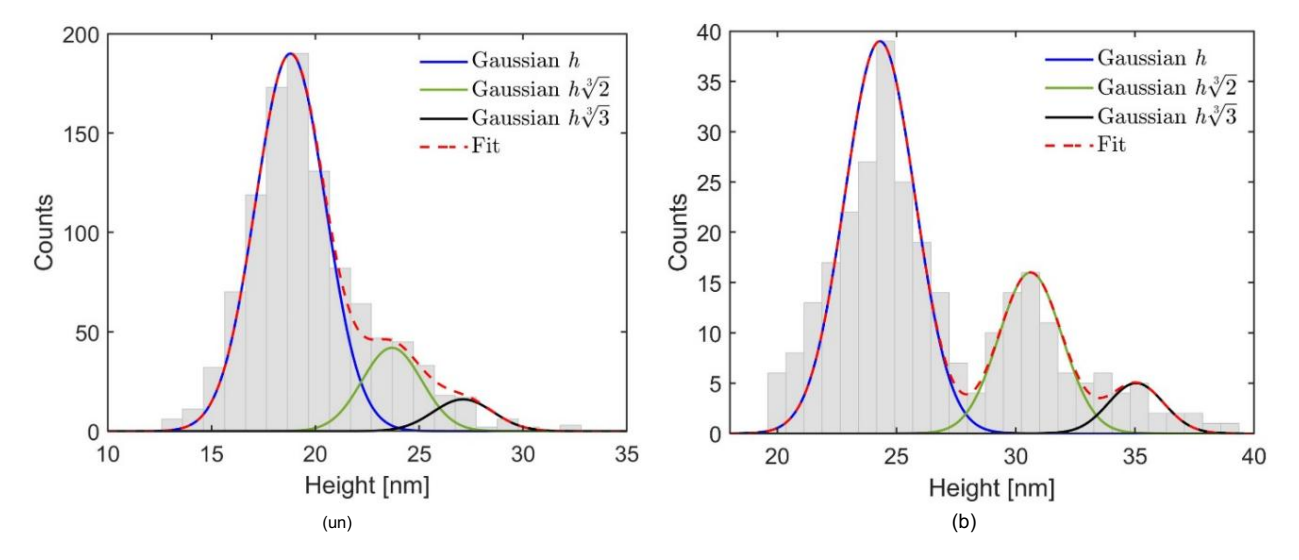


Figure 2s. Hauteurs de clusters pare the par AE Militage aux parenties (a) (b) les es (a) fill les es (b) fill les (b) fill les

## 3.2. Evolution des photoélectrons à rayons X et des spectres Auger avec le temps

ଞ୍ଚଳ ମଧ୍ୟର୍ଥରେ ନିର୍ମ୍ଭ ପ୍ରଥମ ଓଡ଼ି ଅନ୍ତର କରଣ ଓଡ଼ିଆ ହେଇ ହେଉଛି । Es tendances des NP de cuivre exposées

Appl. Nano 2022, 3, POUR EXAMEN PAR LES PAlisa ପ୍ରଥମ ଅନ୍ତର୍ଗତ ଅନ୍ତର୍ମତ ଅନ୍ତର୍ଗତ ଅନ୍ତର ଅନ୍ତର ଅନ୍ତର୍ଗତ ଅନ୍ତର ଅନ୍ତର ଅନ୍ତର୍ଗତ ଅନ୍ତର ଅନ

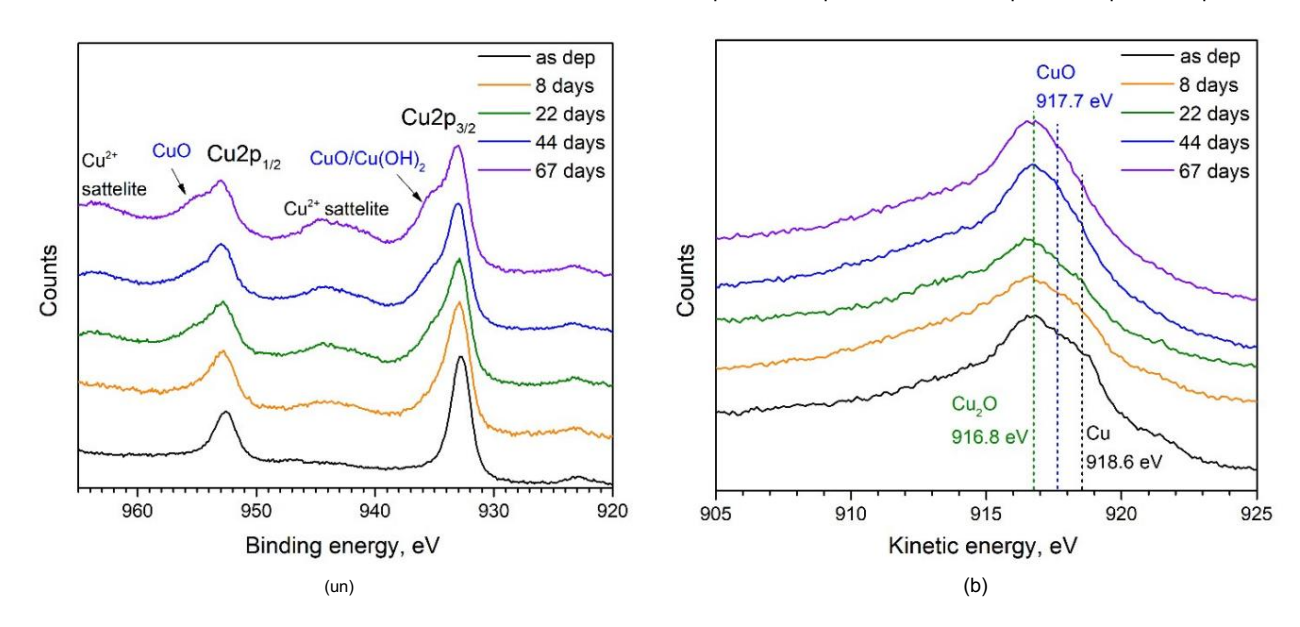


Figure 3: Evolution temporelle des specters à AFS+5 (b) (6FS des NP de Conscriés dans des aux distributions authorisantes. Pics caractéristiques liés aux états Cu2p3/2 et Cu2p1/2, satellites Cu2+ ainsi que bandes liées aux Pics caractéristiques liés aux états Cu2p1/2 et Cu2p1/2, satellites Cu2+ ainsi que bandes liées aux Pics caractéristiques liés Les oxydes Cu(0H)2 et Cu(II) sont indiqués dans le panneau (a). Les lignes pointillées verticales dans le panneau (b) montrent que l'oxyde de Cu(0H)2 et Cu(II) est indiqué dans le panneau (a). Les lignes pointillées verticales dans le panneau (b) montrent energies pour les oxydes de Cu(I) et Cu(II) ainsi que pour le Cu métallique.

Pour les NP tels que déposés (Figure 3a), deux pics caractéristiques à 932,6 eV et 952,4 eV sont attribués respectivement aux états Cu2p3/2 et Cu2p1/2. Le pic Cu2p3/2 pourrait être utilisé pour l'identification du Cu métallique. Cependant, Cu2O a presque la même énergie de liaison de 932,4 eV [26,27], il est donc impossible de résoudre les contributions du Cu métallique et du Cu(I)

Pour les NP telles que déposées (Figure 3a), deux pics caractéristiques à 932,6 eV et 952,4 eV sont attribués respectivement aux états Cu2p3/2 et Cu2p1/2 . Le pic Cu2p3/2 pourrait être utilisé pour l'identification du Cu métallique. Cependant, Cu2O a presque la même énergie de liaison de 932,4 eV [26,27], il est donc impossible de résoudre les contributions du Cu métallique et Oxyde de Cu(I) dans les spectres XPS. Cependant, à partir de l'AES présenté dans la figure 3b, on peut voir un pic à 916,8 eV indiquant la présence d'oxyde de Cu(I) et un épaulement proche de 918,6 eV, qui est l'énergie cinétique correspondant au Cu métallique [26]. Ainsi, nous pouvons conclure sur une certaine oxydation des NP de Cu lors d'une exposition à court terme (environ 20 à 30 min) à l'air ambiant qui est nécessaire pour transférer l'échantillon de la chambre de dépôt vers celle XPS/AES. Le maintien prolongé de l'échantillon dans une atmosphère ambiante entraîne l'évolution des spectres, visible sur la figure 3. Il est connu dans la littérature [27, 28] que l'apparition d'épaules à 934,7 et 954,5 eV dans les spectres XPS peut être attribuée à dihydroxyde de cuivre, Cu(OH)2 et oxyde de Cu(II), respectivement. Les faibles bandes satellites de Cu2+ à environ 941 et 963 eV, augmentant en intensité avec le temps, sont également typiques du Cu(II) formation d'oxydes [27]. Ainsi, en observant les changements présentés dans la figure 3a, on peut conclure sur l'oxydation progressive des NPs dans les conditions ambiantes sur l'échelle de temps indiquée dans le panel. Cette conclusion est également étayée par les spectres Auger (Figure 3b) montrant un augmentation progressive du signal d'oxyde de Cu (II) et élimination du pic de Cu. L'oxydation se fait à les dépenses en cuivre métallique et l'épaisseur croissante de la coque d'oxyde protègent progressivement le noyau désactive finalement l'enregistrement du Cu car la profondeur d'analyse pour XPS/AES est

106

de ceux montrés sur la figure 3 pour ceux non traités. Pendant le traitement UV-ozone, le mélange d'oxygène atomique et d'ozone conduit à une oxydation intensive des NP de Cu.

Notre étude précédente avait révélé la formation d'une coque d'environ 2 à 3 nm d'épaisseur avec une prédominance apport de CuO [20]. Ce nombre est en bon accord avec les expériences sur l'UV-ozone traitement de films minces de Cu, où l'épaisseur de l'oxyde s'est avérée être d'env. 2,5 nm pendant 20 min de l'ozonation [23]. La croissance prédominante de CuO est également le cas pour l'expérience actuelle car

Appl. Nano 2022, 3, POUR EXAMEN déceules des spectres présentés sur la figure 4a, qui montrent de forts pics attribués à CuO 6

et Cu2+. Cependant, les spectres AES de la figure 4b indiquent également une certaine contribution de

Cu2O. Malheureusement, il est difficilement possible de donner un rapport quantitatif des oxydes Cu(II)/Cu(I) oxydes dans toute la coque en raison de la limite de profondeur de la méthode XPS. Nous ne sommes pas en mesure de voir la composition de la coquille en dessous d'env. 2 milles marins sous la surface. En en mesure de voir la composition de la coquille en dessous d'env. 2 milles marins sous la surface. En composition de la coquille inférieure à env. 2 milles marins sous la surface. En analysant les sectres obtenus à afraivasiant les spectres obtenus a différents moments et présentes dans les deux pannalux de la figure 4.

momentadifférents et rerésentés plansiles dalugenangeaux de la ligure. 4 du per peuvans man clure qu'il n'y a pas des chargenteurs de retient de coque est stable.

Les spectres XPS et AES des NP de Cu ozonés présentés à la figure 4 sont très différents

Ainsi, la revêtement protecteur pour le noval aqui reste métallique comme il ressort des mesures optiques présentées dans la section suivante.

reste métallique comme il ressort des mesures optiques présentées dans la section suivante.

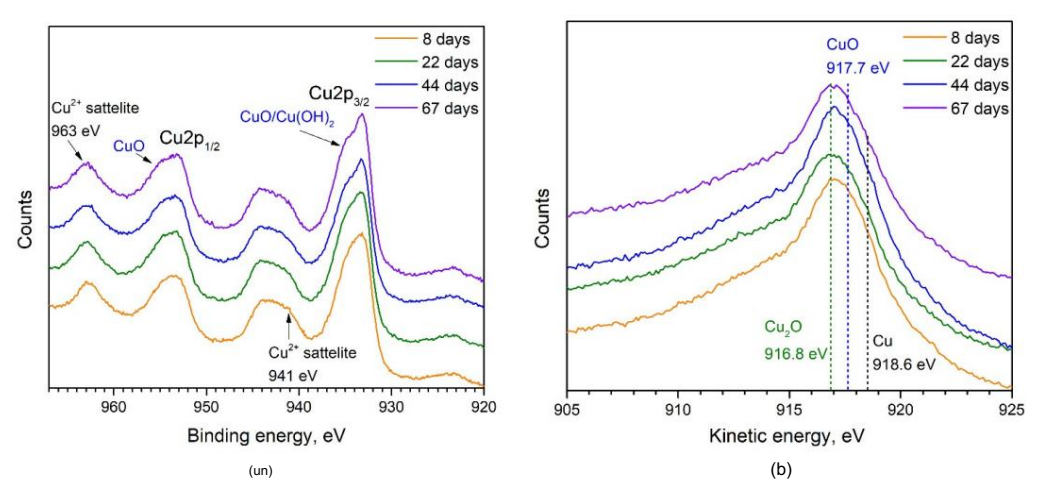


Figure 4. Evolution temporelle des spectres (a) XPS et (b) AES des NP de Cu traités à l'ozone UV, qui sont ensuite Figure 4. Evolution temporelle des spectres (a) XPS et (b) AES des NP de Cu traités à l'ozone UV, qui sont ensuite conserves dans des conditions ambiantes. Les indications des différents pics caracteristiques sont les mêmes que sur conserve<sup>1</sup>d:89% 60 conditions ambiantes. Les indications des différents pics caractéristiques sont les mêmes que sur la figure 3.

#### 3.3. Spectres d'extinction des NP

L'évolution temporelle des propriétés plasmoniques des NP de Cu exposées à l'air ambiant est étudiée en considérant la longueur d'onde de résonance plasmonique extrapolée à partir des spectres d'extinction. A cet effet, les spectres mesurés à partir de chaque ensemble d'échantillons quelques jours sélectionnés après le dépôt sont présentés dans la figure 5. Changement des bandes plasmoniques

### 3.3. Spectres d'extinction des NP

L'évolution temporelle des propriétés plasmoniques des NP de Cu exposées à l'air ambiant est étudié en considérant la longueur d'onde de résonance plasmonique extrapolée à partir de l'extinction spectres. À cette fin, les spectres mesurés à partir de chaque ensemble d'échantillons sur quelques jours sélectionnés après le dépôt sont présentés dans la figure 5. Changement des bandes plasmoniques de Cu non traité Des NP (panneaux (a) et (b)) et des NP de Cu ozonés (panneaux (c) et (d)) peuvent être vus.

107

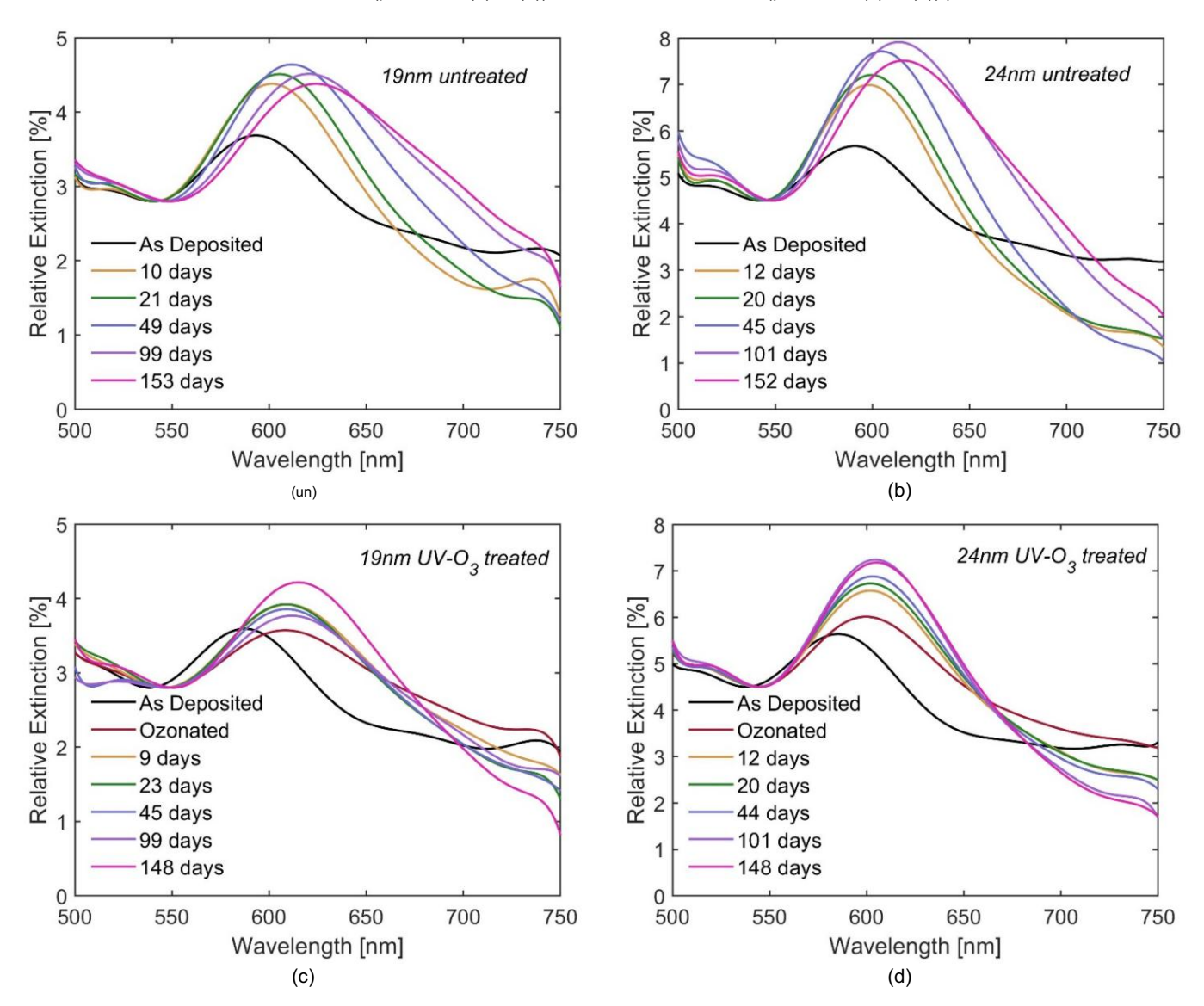


Figure figurest spectras d'extinction relatif relatif des nitratifs (a) tels (n) et (h) 24 ninum de que version des uvers de services certains iours après le dépôt. Les chantillons traités a l'ozone (c) at (d) à 24 nm me surées certains iours après le dépôt. Les chantillons traités ont été conservés dans l'atmosphère ambiante à température ambiante entre les mesures. Les chantillons non traités et traités ont été conservés dans l'atmosphère ambiante à température ambiante entre les mesures. Les mesures. Les mesures.

Un redshift progressif de la longueur d'onde de résonance présenté sur la figure 6a est bien corrélé à l'oxydation progressive des NP dans l'air ambiant observée à partir des spectres XPS/AES.

constante  $\epsilon$  m [29]. Cependant, après oxydation, l'apport de l'air devient mineur, tandis que l'apport des oxydes, qui ont un  $\epsilon$  élevé (7,6 pour Cu2O et 18 pour CuO [30]), domine.  $\epsilon$  m augmente significativement, conduisant ainsi à un changement des conditions de résonance selon l'expression analytique de la section efficace d'extinction [31] :

Appl. Nano 2022, 3 / 108 C = / (2)

où r est le rayon de la particule et  $\epsilon$  Cu est la fonction diélectrique de Cu. Une augmentation de  $\epsilon$  m dans l'évolution des bandes plasmoniques et les raisons de cela, le déplacement relatif du LSPR le dénominateur affecte la condition de Fröhlich, Re[ $\epsilon$  Cu] =  $-2\epsilon$  m, conduişant à un décalage de la longueur d'onde (par rapport aux spectres de référence),  $\Delta\lambda$ , est tracé en fonction du temps, t, sur la figure 6. résonance à une longueur d'onde plus longue [31].

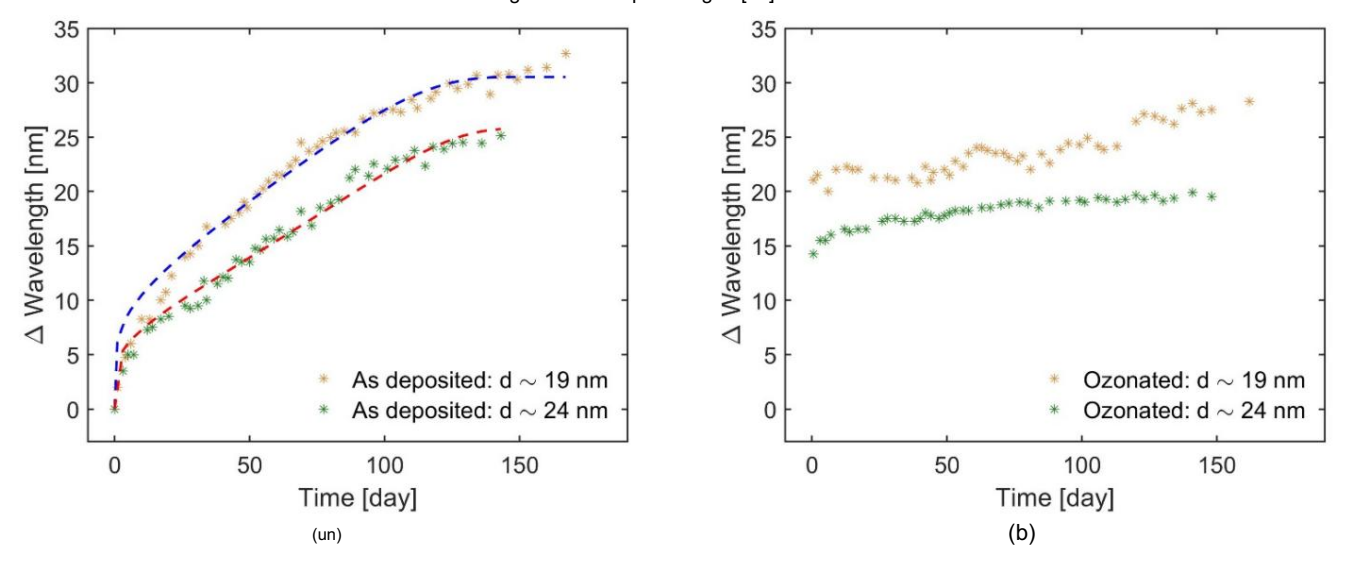


Figure 6. Evolution temporalle de la longueur d'onde de résonance pour (a) non traité et (b) traité UV-ozone Figure 6. Evolution NP de Cu. Les lignes pointillées en (a) montrent les ajustements selon le modèle présenté dans le texte. Les NP de Cu linéaires. Le slignes pointillées en (a) montrent les ajustements selon le modèle présente dans le texte. Le linéaire Le coefficient de régression R2 est calculé comme étant de 0,97 et 0,98 pour les NP de 19 nm et de 24 nm, respectivement. Le coefficient de régression R2 est calculé comme étant de 0,97 et 0,98 pour les NP de 19 nm et de 24 nm, respectivement.

Beveiapplyantale danedants tegressalentation in latiente fesonalica ypresettleé se manifer en est corrélé estantise dans la la manifer de est corrélé estantise de la manifer de la corrélé estantise de la manifer de la corrélé en la correlé en la corrélé en la correlé en la corrélé en la corrélé en la correlé en la correlé

du milieu entourant les NP,  $\epsilon$  m. Avant l'oxydation, il faut peser le apports d'air avec  $\epsilon \approx 1$  et de substrat de quartz avec  $\epsilon \approx 3,8$  pour former ce qu'on appelle constante moyenne effective  $\epsilon$  m [29]. Cependant, après oxydation, l'apport d'air devient ou  $\Delta$  max est le décalage maximal observé et l'est la longueur de désintégration caractéristique du mineur, tandis que la contribution des oxydes, qui ont un  $\epsilon$  élevé (7,6 pour Cµ2O et 18 pour champ électromagnétique generé dans la résonance plasmonique (10 nm dans nos calculs). To CuO [30]), domine.  $\epsilon$  m augmente considérablement, entraînant ainsi un changement de résonance estimer l'épaisseur de la coque, la théorie classique de l'oxydation des métaux développée par Cabrera conditionne selon l'expression analytique de la section efficace d'extinction [31]: et Mott [33] est utilise. Selon cette théorie, étayée par de nombreux cas experimentaux, l'oxyde métallique

suit une loi de croissance logarith வுட்டி முடி தூற்றாction du temps Im[ε Cu]

Cex = 
$$\frac{\Pi}{\lambda} \frac{2}{(|\text{Ref}[\epsilon \pm Cu] + 2\epsilon_{\text{m}})^{2} + \text{Je suis}[\epsilon Cu]}, \qquad (2)$$

et besterenasele entitier et besteren die et bester de entre die et besteren die entite die entre de e

s'appuyant sur les données XPS et AES, il est suggère que la coque d'oxyde formée rapidement, essentiellement constitué de CuO, bloque en grande partie la possibilité d'une oxydation différieure (3) dans des conditions ambiantes, qui se produit généralement par la formation d'un autre oxyde, Cu2O, οù Δλ max est le décalage maximal observé et l'est la longueur de décroissance caractéristique du Par consequent, une legere augmentation de Δλ, visible sur la figure eb, peut s'expliquer par le champ electromagnétique significativement généré lors de la résonance du plasmon (10 nm dans nos calculs). Pour raientir le processus d'oxydation, c'est a dire par une tres faible augmentation de l'epaisseur de la coque, la théorie classique de l'oxydation des métaux développée par Cabrera (Mott [33] est utilisé. Selon cette théorie, soutenue par de nombreuses expériences expérimentales

Dans certains cas, l'oxyde métallique suit une loi de croissance logarithmique en fonction du temps

$$r\acute{e} = \frac{cc}{A - \ln t} \tag{4}$$

où dc est l'épaisseur critique à laquelle la croissance de l'oxyde s'arrête ou s'arrête presque à température ambiante (une bonne approximation est de 10 nm [33]) et A est la constante proportionnelle à l'énergie de formation du cation Cu et à l'énergie d'activation de sa diffusion à travers le déjà couche d'oxyde formée vers la surface pour former Cu2O. La combinaison des équations (3) et (4) fournit un bon accord des ajustements avec les données expérimentales, comme le mont

109

Pour les NP traitées aux UV-ozone, nous ne pouvons pas appliquer la même approche modèle. En s'appuyant sur les données XPS et AES, il est suggéré que l'enveloppe d'oxyde formée rapidement, principalement constituée de CuO, bloque en grande partie la possibilité d'une oxydation ultérieure dans des conditions ambiantes , qui se produit généralement par la formation d'un autre oxyde, Cu2O. Par conséquent, une légère augmentation de  $\Delta\lambda$ , visible sur la figure 6b, peut s'expliquer par le processus d'oxydation considérablement ralenti , c'est-à-dire par une très faible augmentation de l'épaisseur de la coque.

Ainsi, les résultats obtenus révèlent une évolution des propriétés plasmoniques des NPs de Cu non traités sur une période d'environ 5 mois, indiquant à la fois un changement progressif de l' intensité de la bande et un redshift continu de la longueur d'onde de résonance. D'autre part, la formation initiale de la phase oxyde induite par le traitement UV-ozone améliore efficacement la stabilité de la longueur d'onde de résonance sur une période d'au moins 5 mois.

#### 4. Conclusions

L'évolution de la composition chimique et des propriétés plasmoniques des NP de cuivre produites par la méthode d'agrégation en phase gazeuse et déposées sur des substrats sont systématiquement étudiées sur une période d'environ 5 mois. On constate que les NP conservés dans des conditions atmosphériques ambiantes à température ambiante subissent une oxydation progressive avec formation prédominante d'oxyde de Cu(I). Avec le temps, les indications de présence d'oxyde de Cu(II) et de dihydroxyde de cuivre sont également observées dans les spectres XPS et AES permettant de suggérer une conversion de l'oxyde de Cu(I) en oxyde de Cu(II). Cette dynamique d'oxydation est en bon accord avec la littérature. L'oxydation affecte les propriétés plasmoniques de telle sorte que la fréquence de résonance subit un redshift progressif, tandis que l'intensité augmente, atteint la saturation puis commence à diminuer légèrement. L'évolution du redshift suit bien le modèle prenant en compte la croissance de la phase oxyde selon la théorie de l'oxydation des métaux proposée par Cabrera et Mott [33]. Les bandes plasmoniques s'avèrent encore fortes 150 à 160 jours après le dépôt pour les deux tailles moyennes de particules de 19 et 24 nm utilisées dans les expériences, ce qui indique que les noyaux métalliques sont préservés malgré l'oxydation.

Un traitement UV-ozone des NP directement après le dépôt provoque la formation de coquilles d'oxyde avec un apport prédominant d'oxyde de Cu(II). Ces coques protègent les NP contre l'oxydation ultérieure lorsqu'ils sont conservés en atmosphère ambiante.

Les propriétés plasmoniques sont beaucoup plus stables dans le temps par rapport aux NPs non traitées. L'intensité de la bande augmente pour atteindre la saturation après env. 40 à 60 jours. Par la suite, de légères fluctuations sont observées, sans diminution considérable. La longueur d'onde de résonance présente un très petit redshift (quelques nm). Ainsi, un traitement UV-ozone peut être utilisé comme méthode simple pour stabiliser et préserver les propriétés plasmoniques des NP de Cu sur une période de plusieurs mois, facilitant les applications commerciales pour la détection et la détection améliorées par plasmoni Cependant, des études supplémentaires sont nécessaires pour tester les NP de Cu traités par UV-ozone, en particulier par des méthodes plasmoniques, telles que la spectroscopie Raman améliorée en surface ou le photovoltaïque.

Contributions des auteurs : Conceptualisation, VNP ; méthodologie, FZ et VNP ; enquête, FZ et AM; rédaction – préparation du projet original, FZ et VNP ; rédaction – révision et édition, FZ, AM et VNP ; visualisation, FZ et VNP ; supervision, VNP Tous les auteurs ont lu et accepté la version publiée du manuscrit.

Financement: Cette recherche n'a reçu aucun financement externe.

Conflits d'intérêts : Les auteurs ne déclarent aucun conflit d'intérêts.

Appl. Nano 2022. 3 110

#### Les références

- Murray, Washington; Barnes, WL Matériaux Plasmoniques. Av. Maître. 2007, 19, 3771-3782. [Référence croisée]
   Stratakis, E.; Kymakis, E. Dispositifs photovoltaïques organiques plasmoniques à base de nanoparticules. Maître. Aujourd'hui 2013, 16, 133-146. [Référence croisée]
- 3. Langer, J.; Novikov, SM; Liz-Marzán, LM Sensing utilisant des nanostructures et des nanoparticules plasmoniques. Nanotechnologie 2015, 26, 322001 [Réf. croisée]
- Amendola, V.; Pilote, R.; Frasconi, M.; Marago, OM; latì, MA Résonance plasmonique de surface dans les nanoparticules d'or: une revue.
   J. Phys. Condensé. Affaire 2017. 29. 203002. [CrossRef]
- 5. Rycenga, M.; Cobley, CM; Zeng, J.; Li, W.; Moran, CH; Zhang, Q.; Qin, D.; Xia, Y. Contrôle de la synthèse et de l'assemblage de nanostructures d'argent pour des applications plasmoniques. Chimique. Rév.2011, 111, 3669-3712. [Référence croisée]
- 6. Cao, W. ; Elsayed-Ali, HE Stabilité des nanoparticules d'argent fabriquées par lithographie par faisceau d'électrons. Maître. Lett. 2009, 63, 2263-2266.
- 7. Scuderi, M.; Esposito, M.; Todisco, F.; Siméone, D.; Tarantini, moi; De Marco, L.; De Giorgi, M.; Nicotra, G.; Carbone, L.; Sanvitto, D.; et coll. Étude à l'échelle nanométrique du processus de ternissement dans les nanoparticules d'argent fabriquées par lithographie par faisceau d'électrons pour les applications plasmoniques. J. Phys. Chimique. C 2016, 120, 24314-24323. [Référence croisée]
- 8. Chan, GH; Zhao, J.; Hicks, EM; Schatz, GC; Van Duyne, RP Propriétés plasmoniques des nanoparticules de cuivre fabriquées par Lithographie des nanosphères. Nano Lett. 2007, 7, 1947-1952. [Référence croisée]
- 9. Stebounov, YV; Yakubovsky, DI; Fedyanine, DY; Arsénine, AV; Volkov, VS Sensibilité supérieure des biocapteurs plasmoniques à base de cuivre. Langmuir 2018, 34, 4681-4687. [Référence croisée]
- Gattinoni, C.; Michaelides, A. Détails atomistiques des surfaces d'oxydes et de l'oxydation de surface: l'exemple du cuivre et de ses oxydes.
   Le surf. Sci. Rapport 2015. 70. 424-447. [Référence croisée]
- 11. Kim, JH; Ehrman, SH; Germer, TA Influence du revêtement d'oxyde de particules sur la diffusion de la lumière par des particules métalliques submicroniques sur Plaquettes de silicium. Appl. Phys. Lett. 2004, 84, 1278-1280. [Référence croisée]
- 12. Boyd, RD; Pilch, moi; Garbrecht, M.; Halvarsson, M.; Helmersson, U. Couche de coque à double oxyde formée sur une nanoparticule métallique comme révélé par la microscopie électronique à transmission corrigée des aberrations (à balayage). Maître. Rés. Express 2014, 1, 025016. [CrossRef]
- 13. Platzman, I.; Brener, R.; Haick, H.; Tannenbaum, R. Oxydation de couches minces de cuivre polycristallin dans des conditions ambiantes.

  J. Phys. Chimique. C 2008, 112, 1101-1108. [Référence croisée]
- 14. Léon, JJD; Fryauf, DM; Cormia, RD; Zhang, MXM; Samuels, K.; Williams, RS; Kobayashi, NP La réflectométrie-ellipsométrie révèle l'épaisseur, le taux de croissance et la composition des phases dans l'oxydation du cuivre. Application ACS. Maître. Interfaces 2016, 8, 22337-22344.
- 15. De Heer, WA La physique des amas de métaux simples : aspects expérimentaux et modèles simples. Rév. Mod. Phys. 1993, 65, 611-676.
- 16. Binns, C. Nanoclusters déposés sur des surfaces. Le surf. Sci. Rep.2001, 44, 1-49. [Référence croisée]
- 17. Popok, Vietnam; Kylián, O. Synthèse en phase gazeuse de nanomatériaux fonctionnels. Appl. Nano 2020, 1, 25-58. [Référence croisée]
- 18. Novikov, SM; Popok, Virginie; Evlyukhin, Alberta; Hanif, M.; Morgen, P.; Fiutowski, J.; Beermann, J.; Rubahn, H.-G.; Bojevolnyi, SI

  Amas d'argent monocristallin hautement stables pour les applications plasmoniques. Langmuir 2017. 33. 6062-6070. [Référence croiséel
- Larsen, M. Stabilité de la résonance plasmonique de surface localisée des nanoparticules métalliques. Mémoire de maîtrise, Université d'Aalborg, Aalborg, Danemark. 2019.
- 20. Popok, Vietnam; Novikov, SM; Lebedinskij, YY; Markeev, AM; Andreïev, AA; Trunkin, IN; Arsénine, AV; Volkov, VS Nanoparticules de cuivre agrégées au gaz avec stabilité de résonance plasmonique à long terme. Plasmoniques 2021, 16, 333-340. [Référence croisée]
- 21. Kim, moi ; Kim, Y. ; Woo, K. ; Ryu, EH ; Oui, KY ; Cao, G. ; Moon, J. Synthèse de nanoparticules de cuivre à noyau et coque résistantes à l'oxydation. RSC Adv. 2013, 3, 15169-15177. [Référence croisée]
- 22. Bok, S.; Lim, GH; Lim, B. Traitement UV/Ozone pour l'amélioration de l'adhérence de l'interface cuivre/époxy. J. Ind. Eng. Chimique. 2017, 46, 199-202. [Référence croisée]
- 23. Solovey, VR; Yakubovsky, DI; Ermolaïev, Géorgie; Lebedinskij, YY; Markeev, AM; Voronov, AA; Zamboni, F.; Popok, Virginie; Arsénine, AV; Volkov, VS; et coll. Traitement UV/Ozone et Plasmoniques de Cuivre à Plein Air. J. Phys. Conf. Ser. 2021, 2015, 012148.
- 24. Popok, Vietnam; Gurevich, L. États de charge des nanoparticules d'argent de taille sélectionnée produites par pulvérisation magnétron. J. Nanopart. Rés. 2019. 21. 171. [Référence croisée]
- 25. Hartmann, H.; Popok, Virginie; Barke, moi; Von Oeynhausen, V.; Meiwes-Broer, K.-H. Conception et capacités d'une configuration expérimentale basée sur la pulvérisation magnétron pour la formation et le dépôt d'amas métalliques de taille sélectionnée sur des surfaces ultra-propres. Rév. Sci.

  Instrument. 2012, 83, 073304. [Réf. croisée]
- 26. Poulston, S.; Parlett, PM; Pierre, P.; Bowker, M. Oxydation de surface et réduction de CuO et Cu2O étudiées à l'aide de XPS et XAES. Le surf. Interface Anale. 1996, 24, 811-820. [Référence croisée]
- 27. Biesinger, MC; Lau, LWM; Gerson, AR; Smart, RSC résolvant les états chimiques de surface dans l'analyse XPS des métaux de transition, oxydes et hydroxydes de première rangée : Sc, Ti, V, Cu et Zn. Appl. Le surf. Sci. 2010, 257, 887-898. [Référence croisée]
- 28. Susman, MD; Feldman, Y.; Bendikov, TA; Vaskevitch, A.; Rubinstein, I. Étude par spectroscopie plasmonique en temps réel de l'oxydation à l'état solide et de la formation du vide de Kirkendall dans les nanoparticules de cuivre. À l'échelle nanométrique 2017. 9. 12573-12589. [Référence croisée]
- 29. Curry, A.; Nusz, G.; Chilkoti, A.; Wax, A. Effet du substrat sur la dépendance de l'indice de réfraction de la résonance plasmonique pour les nanoparticules d'argent individuelles observées par microspectroscopie en fond noir. Opter. Express 2005, 13, 2668. [CrossRef]

- 30. Haynes, WM; Lide, DR; Bruno, TJ (Eds.) Manuel de chimie et de physique du CRC; CRC Press: Boca Raton, FL, États-Unis, 2013.
- 31. Maier, SA Plasmons de surface localisés. En Plasmoniques : principes fondamentaux et applications ; Springer : New York, NY, États-Unis, 2007 ; p. 53-64. [Référence croisée]
- 32. Malinsky, MD; Kelly, KL; Schatz, GC; Van Duyne, Dépendance à la longueur de la chaîne RP et capacités de détection de la résonance plasmonique de surface localisée de nanoparticules d'argent chimiquement modifiées avec des monocouches auto-assemblées d'alcanethiol. Confiture.
  - Chimique. Soc. 2001, 123, 1471-1482. [Référence croisée]
- 33. Cabrera, N.; Mott, NF Théorie de l'oxydation des métaux. Rép. Prog. Phys. 1949, 12, 163-184. [Référence croisée]